

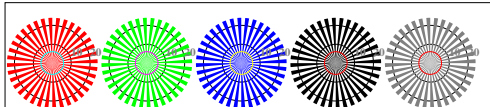
http://130.149.60.45/~farbmétrik/RF96/RF96L0N1.TXT /PS; sortie de production  
N: aucun linearisation 3D (OL) dans fichier (F) ou PS-startup (S), page 1/1



192 x 128  
384 x 256  
768 x 512  
1536 x 1024  
3072 x 2048

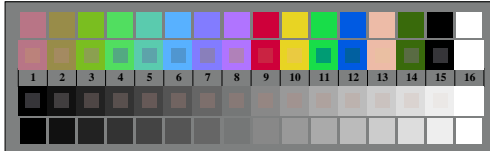


RF960-3, Fig. D1W-: le motif fleuri, 14 CIE test couleurs et 2 + 16 gris étapes (sf); PS operator 3 colorimage



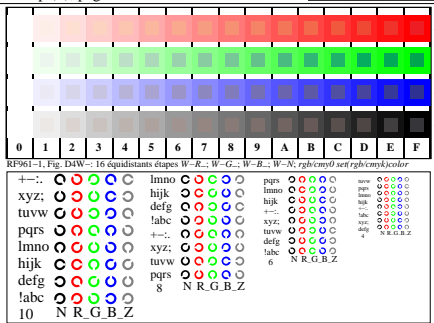
radial callebotis W-R\_ radial callebotis W-G\_ radial callebotis W-B\_ radial callebotis W-N\_ radial callebotis W-Z

RF960-5, Fig. D2W-: radial callebotis W-R\_ ; W-G\_ ; W-B\_ ; W-N\_ ; PS operator  $rgb \rightarrow rgb\_setrgbcolor$

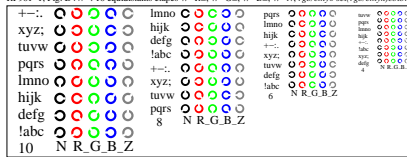


RF960-7, Fig. D3W-: 14 CIE test couleurs et 2 + 16 gris étapes (sf);  $rgb/cmky0 set(rgb/cmky)color$

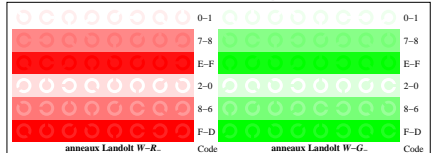
graphique RF96; 4(ISO/IEC 15775 + ISO/IEC TR 24705)  
chromatic graphique de test RGB



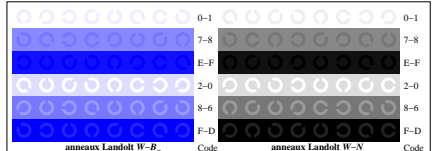
RF961-1, Fig. D4W-: 16 équidistants étapes W-R\_ ; W-G\_ ; W-B\_ ; W-N\_ ; PS operator  $rgb/cmky0 set(rgb/cmky)color$



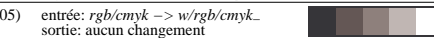
RF961-3, Fig. D5W-: code et Landolt anneauN; R\_ ; G\_ ; B\_ ; Z ; PS operator  $rgb \rightarrow rgb\_setrgbcolor$



RF961-5, Fig. D6W-: anneaux Landolt W-R\_ ; W-G\_ ; PS operator  $rgb setrgbcolor$



RF961-7, Fig. D7W-: anneaux Landolt W-B\_ ; W-N\_ ; PS operator  $rgb setrgbcolor$



entrée:  $rgb/cmky \rightarrow w/rgb/cmky_-$   
sortie: aucun changement